

東京都工芸技術研究所 正会員 一川好

1. はじめに

土の弾塑性的性質は土の動的特性の中でも重要な性質の一つである。このことから、弾塑性的性質についての実用上の研究は、従来から数多く行われている。しかし、その理論的な側面について行なわれた研究の数は、それほど多くない現状にある。この結果土の弾塑性的性質を顯わすようないすみ領域での、ひずみエネルギーおよび損失係数については、定義そのものについても、必ずしも定説化したものがあるわけではないようである。この原因の一つとして考えられるのは、粘弾性的性質についての Maxwell や Voigt モデルのような、弾塑性的性質を説明する力学的モデルが、あまり重視されていない事にあると思われる。この小論では、弾塑性的性質を説明する力学的モデルの提案と、このモデルから導かれるひずみエネルギーおよびエネルギー損失の定式化を試みる。

2. モデルの概要

力学的モデルとしては、図 1 に示すような、バネによって直列につながれたマスによって表わされる。マスの底面と台との間に摩擦係数 α の摩擦が働く。バネの先端に力 F が作用したときのバネの伸び ϵ とマスの移動量 δ を示すと、図 2 のようになる。力 F と応力 σ 、 $(\epsilon_1 + \epsilon_2)$ をひずみ ϵ とすると、このモデルの運動は弾塑性体の応力-ひずみ関係を表現することができる。力 F が $\alpha(m_1 + m_2)$ より大きな場合、応力-ひずみ関係は完全な塑性変形となる。このモデルは、基本的には Iwan のモデルと等価なものであり、バネおよびマスの係数を交換することにより全く同一の応力-ひずみ関係を表現することができる。また、このようなマスとバネを直列につないだモデルは、図 2 からも読みとれるように、Masing の仮定を常に満足する。以下に、いくつかの応力-ひずみ関係モデルについて、ひずみエネルギーとエネルギー損失の定式化を行なう。

1) バイリニア・モデル：これは、図 1 のモデルでマス m_2 が移動せずにループを描いた場合（図 2）に相当する。エネルギー損失は摩擦によって失なわれるエネルギーとすると、ひずみ ϵ_2 から最大までの間に失なわれるエネルギーは図 3 のように、 $\alpha m_2 \epsilon_2$ となる。 σ のくり返し応力によつて失なわれるエネルギーはこの値の 4 倍となることから、1 周期の間の損失エネルギーはヒステレス・ループの面積と同一となる。

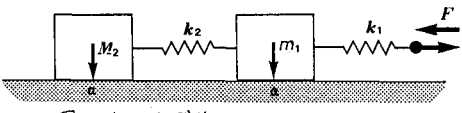


図-1 モデル

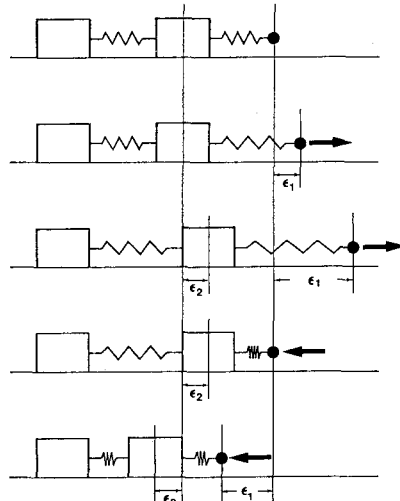
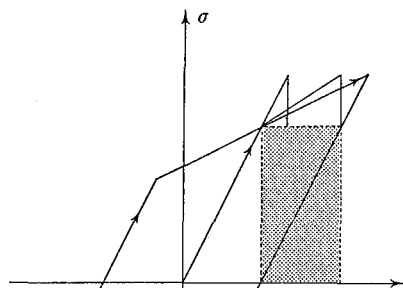
図-2 モデルの周期的運動 ($\beta = 1$)

図-3 エネルギー損失(バイリニア)

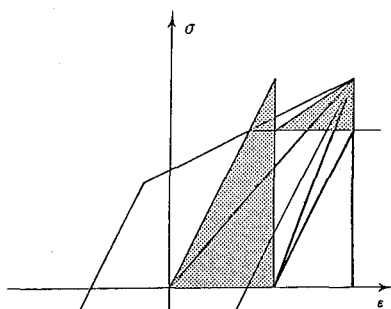


図-4 ひずみエネルギー(バイリニア)

ひずみエネルギーをバネに貯えられる弾性エネルギーと考えると、この値は図4と見られるように、骨格曲線および割線によって貯えられるエネルギーよりも小さく、除荷時に解放されるエネルギーよりも大きくなっている。この値は幾何学的な性質から、割線から求められるエネルギーから、ひずみが0から最大となるまでに失なわれるエネルギーの半分を差し引いたものに常に一致する。この結果、損失係数 η は、割線の作る三角形の面積を S_1 、ヒステレス、ループの面積を S_2 とすると、

$$\eta = \frac{1}{2\pi} \cdot \frac{\delta S_2}{(S_1 - S_2/2)} \quad \text{---(1)}$$

によって与えられる。

2) バイリニアモデルの拡張：

図5は3つのマスから成るモデルの、1周期の運動の様子を示す。この場合も、バイリニアモデルと同様に、エネルギー損失はヒステレス、ループの面積と同一になり（図6）、ひずみエネルギーも割線の作る三角形の面積からヒステレス、ループの面積の $1/8$ を差し引いた値となる（図7）。この結果、3つのマスのモデルにつけても、(1)式は成立する。

より複雑な応力-ひずみ関係を表現するため、多數のマスおよびバネから成るモデルを考える場合、マスをバネで直列につなげたモデルでは常にMasingの仮定を満足することから、骨格曲線のみ規定すればよいことになる。図8に示すような骨格曲線をモデルに置き換えるには、曲線上のヌベールーと丸について、応力の増分 $\Delta \sigma$ とモデルの九番目のマスの摩擦力 Δm_n を等しくおき、モデルの1番目から九番目までのバネに力 ΔM_{n+1} がかかるときのバネの並びの総和がひずみの増分 $\Delta \epsilon$ と等しくなるように、バネ定数 ω_n を選べばよいわけである。

謝辞 この研究を進めるにあたり終始討論していただいた、土木技術研究所 阿部 博氏に感謝いたします。

参考文献

W.D.Iwan (1966); A Distributed-Element Model for Hysteresis and Its Steady-State Dynamic Response, J.Appl.Mech., 1966, Dec., pp.893-900

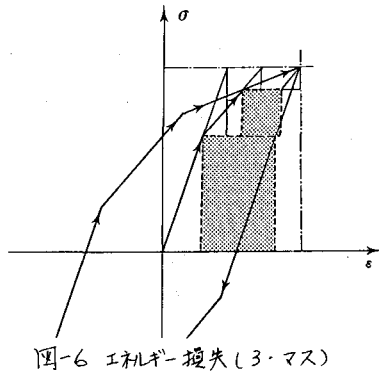


図-6 エネルギー損失(3・マス)

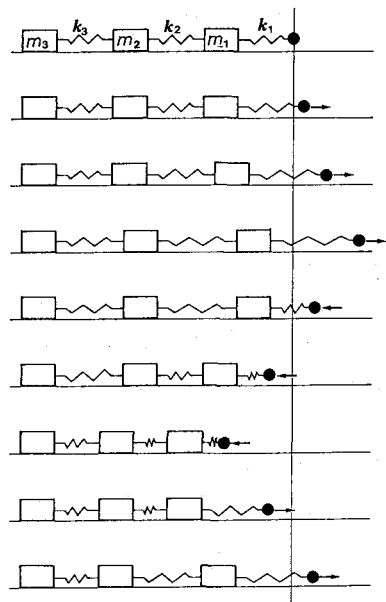


図-7 モデルの1周期運動(3・マス)

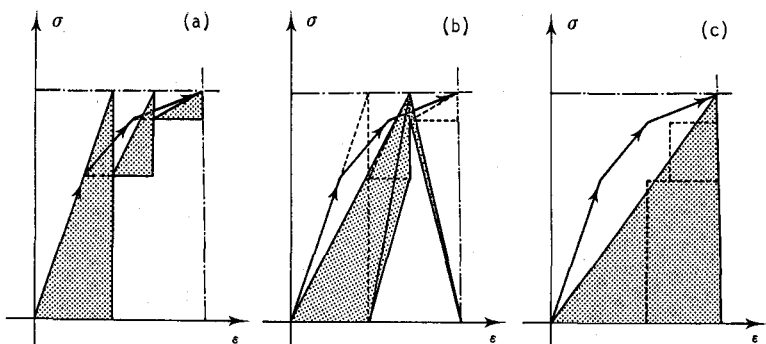


図-7 ひずみエネルギー(3・マス)

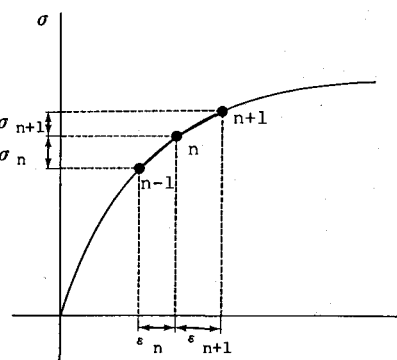


図-8 複雑な骨格曲線のモデル化